

## · 临床研究 ·

# 先天性心脏病患儿气管导管末端穿刺法与旁气流法监测 $P_{ET}CO_2$ 和 $PaCO_2$ 的相关性

徐玉洁 何明枫 张斯璧

**【摘要】目的** 比较先天性心脏病(简称先心病)患儿经气管导管末端穿刺法与旁气流法监测 $P_{ET}CO_2$ 和 $PaCO_2$ 的相关性。**方法** 选择全麻下行先心病手术的患儿 20 例,男 12 例,女 8 例,年龄 3 ~ 48 个月,ASA I ~ III 级。同时采取 22 G 套管针气管导管末端穿刺持续监测(简称末端穿刺法)与旁气流法测 $P_{ET}CO_2$ 。采集动脉血测 $PaCO_2$ 。记录两种方法在麻醉诱导后和心肺转流(CPB)停止后的 $P_{ET}CO_2$ 和桡动脉血 $PaCO_2$ ,采用配对 t 检验及线性相关分析两者的相关性。**结果** 末端穿刺法测得的 $P_{ET}CO_2$ 在麻醉诱导后[(36.8 ± 2.7) mm Hg vs. (32.5 ± 1.4) mm Hg,  $P < 0.05$ ]以及 CPB 停止后[(40.8 ± 2.5) mm Hg vs. (36.5 ± 1.6) mm Hg,  $P < 0.05$ ]均明显高于旁气流法。桡动脉血 $PaCO_2$ 与末端穿刺法 $P_{ET}CO_2$ 的差值在麻醉诱导后[(7.1 ± 0.7) mm Hg vs. (11.4 ± 1.5) mm Hg,  $P < 0.01$ ]和 CPB 停止后[(9.3 ± 1.2) mm Hg vs. (13.5 ± 2.3) mm Hg,  $P < 0.01$ ]均明显低于 $PaCO_2$ 与旁气流法 $P_{ET}CO_2$ 的差值。麻醉诱导后和 CPB 停止后 $PaCO_2$ 与末端穿刺法测得 $P_{ET}CO_2$ 的线性确定系数( $R^2$ )分别为 0.94 和 0.93( $P < 0.05$ ),旁气流法测得的麻醉诱导后、CPB 停止后 $P_{ET}CO_2$ 与 $PaCO_2$ 的 $R^2$ 分别为 0.68 和 0.66( $P < 0.05$ )。**结论** 在血流动力学稳定的患儿中,经 22 G 套管针气管导管末端穿刺持续监测 $P_{ET}CO_2$ 与 $PaCO_2$ 的相关性更好,可准确反映机体二氧化碳分压的变化。

**【关键词】** 患儿;先天性心脏病;呼气末二氧化碳分压

**Relationship between end-tidal carbon dioxide tension obtained from the distal ends of the tracheal tube and arterial pressure of carbon dioxide with the side stream capnometer in infants with congenital heart disease** XU Yujie, HE Mingfeng, ZHANG Sibi. Department of Anesthesiology, Jiangsu Province Hospital, Nanjing 210029, China

*Corresponding author:* ZHANG Sibi, Email: dr.zhangsibi@163.com

**【Abstract】Objective** To determine the relationship between end-tidal carbon dioxide tension ( $P_{ET}CO_2$ ) obtained from the distal ends of the tracheal tube and arterial pressure of carbon dioxide ( $PaCO_2$ ) compared with the sidestream capnometer in infants with congenital heart disease.  
**Methods** Twenty infants undergoing congenital heart disease surgery, 12 males and 8 females, aged 3~48 months, ASA physical status I - III were enrolled. Measurements of  $P_{ET}CO_2$  were obtained from the distal ends of the tracheal tube using a sterile 22 G catheter that was inserted into the tube and from the proximal end with a sidestream capnometer in 20 intubated infants with congenital heart disease. The data including  $P_{ET}CO_2$  and the arterial  $PaCO_2$  were obtained both after the anesthesia induction and the CPB. **Results** The data of  $P_{ET}CO_2$  obtained from the distal ends of the tracheal tube after the anesthesia induction [(36.8 ± 2.7) mm Hg vs. (32.5 ± 1.4) mm Hg,  $P < 0.05$ ] and the CPB [(40.8 ± 2.5) mm Hg vs. (36.5 ± 1.6) mm Hg,  $P < 0.05$ ] were both higher than those from the proximal end with a sidestream capnometer. The difference between  $PaCO_2$  and  $P_{ET}CO_2$  obtained from the distal ends of the tracheal tube after the induction [(7.1 ± 0.7) mm Hg vs. (11.4 ± 1.5) mm Hg,  $P < 0.01$ ] and the CPB [(9.3 ± 1.2) mm Hg vs. (13.5 ± 2.3) mm Hg,  $P < 0.01$ ] were significantly lower than that between  $PaCO_2$  and  $P_{ET}CO_2$  obtained from the proximal end. Distal sidestream  $P_{ET}CO_2$  correlated with the  $PaCO_2$  ( $R^2 = 0.94$  after induction and  $R^2 = 0.93$  after the CPB,  $P < 0.05$ ). However, the proximal  $P_{ET}CO_2$  with the sidestream capnometer correlated very poorly with  $PaCO_2$  whether after the induction ( $R^2 = 0.68$ ,  $P < 0.05$ ) nor the CPB ( $R^2 = 0.66$ ,  $P < 0.05$ ).  
**Conclusion** We conclude that the  $P_{ET}CO_2$  obtained from the distal ends of the tracheal tube provides accurate estimates of the  $PaCO_2$  in critically ill infants with congenital heart disease.

**【Key words】** Infant patients; Congenital heart disease; End-tidal carbon dioxide tension

先天性心脏病(简称先心病)患儿  $P_{ET}CO_2$  与  $PaCO_2$  的相关性受到许多因素的影响<sup>[1]</sup>。除了不同解剖类型外,血样采样部位也直接影响  $P_{ET}CO_2$  的准确性。此外,有研究表明,紫绀型先心病患儿  $P_{ET}CO_2$  不能准确反映真实  $PaCO_2$ <sup>[2]</sup>。本研究以左向右分流先心病手术患儿为对象,探讨患儿同时采用两种不同采样方法于不同部位监测的  $P_{ET}CO_2$  和  $PaCO_2$  的相关性,为临床提供参考。

## 资料与方法

**一般资料** 本研究经医院伦理委员会批准,与患儿家属签署知情同意书。选取 2014 年 1~6 月江苏省人民医院小儿胸心外科左向右分流的先心病手术患儿,性别不限,年龄 3~48 个月,ASA I~Ⅲ 级。排除近期肺部感染、肺发育不良及肺栓塞史,超声排除右向左及双向分流的患儿。

**监测方法** 5% 七氟醚吸入入室,建立静脉通路后,给予咪达唑仑 0.1 mg/kg、芬太尼 10 μg/kg 和维库溴铵 0.1 mg/kg 行麻醉诱导。气管插管后(气管导管型号均 ≥ ID 3.0)连接 Datex-Ohmeda S/5 麻醉机行机械通气,  $V_T$  8~10 ml/kg, RR 15~30 次/分, I:E 1:1.5,  $FiO_2$  40%~60%, 控制  $P_{ET}CO_2$  在 35~45 mm Hg。术中用 Datex-Ohmeda S/5 监护仪监测生命体征。根据呼气末  $CO_2$  采样部位分别采取 22 G 套管针气管导管末端穿刺持续监测法(简称末端穿刺法)与旁气流法(在气管导管与麻醉机螺纹管“Y”型接头连接处采样)同时监测患儿的  $P_{ET}CO_2$ 。

**观察指标** 在患儿麻醉诱导 15 min 后血流动力学平稳时和心肺转流(CPB)停止后记录两种监测方法测得的  $P_{ET}CO_2$ ,同时采集动脉血测  $PaCO_2$ ,并计算差值  $P_{a-ET}CO_2$ 。患儿在 CPB 完全停止、复温完全至正常水平和继续行机械通气 15 min 后分别继续上述方法测定其  $P_{ET}CO_2$ ,并同时采动脉血测  $PaCO_2$ 。

**统计分析** 采用 SPSS 19.0 软件行统计学分析。正态分布计量资料以均数 ± 标准差 ( $\bar{x} \pm s$ ) 表示,采用配对样本  $t$  检验、一致性分析和线性相关分析。 $P < 0.05$  为差异有统计学意义。

## 结 果

本研究共纳入 20 例患儿,男 12 例,女 8 例,月龄 (16.2 ± 11.9) 月,体重 4.5~17.0 (10.3 ± 9.2) kg,转流时间 (37.7 ± 8.8) min, 手术时间 (156.5 ±

19.8) min。20 例患儿中包括房间隔缺损(简称室缺)9 例,房间隔缺损(简称房缺)6 例,室缺合并房缺 2 例,动脉导管未闭 3 例。

麻醉诱导后以及 CPB 停止后,末端穿刺法测得的  $P_{ET}CO_2$  均明显高于旁气流法 ( $P < 0.05$ ),且末端穿刺法的  $P_{a-ET}CO_2$  均明显低于旁气流法 ( $P < 0.01$ ),  $PaCO_2$  差异无统计学意义(表 1)。

表 1 两种监测方法的  $PaCO_2$ 、 $P_{ET}CO_2$  和  $P_{a-ET}CO_2$  的比较  
( $\text{mm Hg}$ ,  $\bar{x} \pm s$ ,  $n=20$ )

指标	方法	诱导后	CPB 后
$P_{ET}CO_2$	末端穿刺法	36.8 ± 2.7 <sup>a</sup>	40.8 ± 2.5 <sup>a</sup>
	旁气流法	32.5 ± 1.4	36.5 ± 1.6
$PaCO_2$	末端穿刺法	43.9 ± 2.4	50.7 ± 3.0
	旁气流法	43.9 ± 2.4	50.7 ± 3.0
$P_{a-ET}CO_2$	末端穿刺法	7.1 ± 0.7 <sup>b</sup>	9.3 ± 1.2 <sup>b</sup>
	旁气流法	11.4 ± 1.5	13.5 ± 2.3

注:与旁气流法组比较,<sup>a</sup> $P < 0.05$ ;与旁气流法比较,<sup>b</sup> $P < 0.01$

末端穿刺法测得的麻醉诱导后、CPB 停止后的  $P_{ET}CO_2$  与  $PaCO_2$  的线性确定系数 ( $R^2$ ) 分别为 0.943 和 0.937,旁气流法测得的麻醉诱导后、CPB 停止后的  $P_{ET}CO_2$  与  $PaCO_2$  的  $R^2$  分别为 0.68、0.66(图 1~4)。

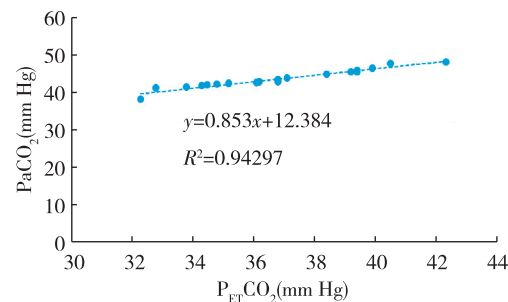


图 1 末端穿刺法麻醉诱导后  $P_{ET}CO_2$  与  $PaCO_2$  的相关性

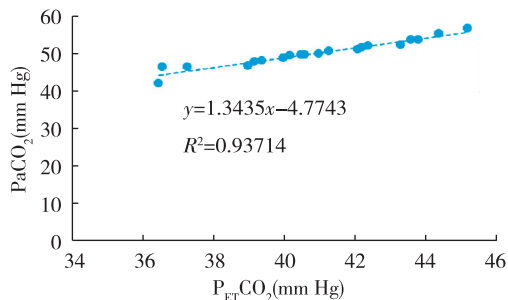
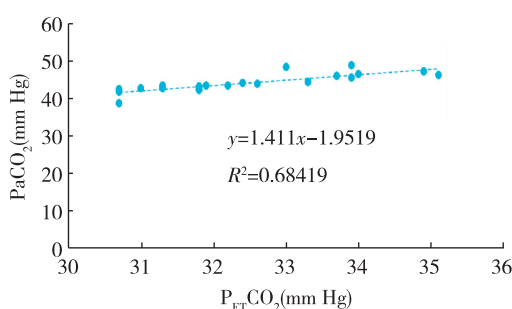
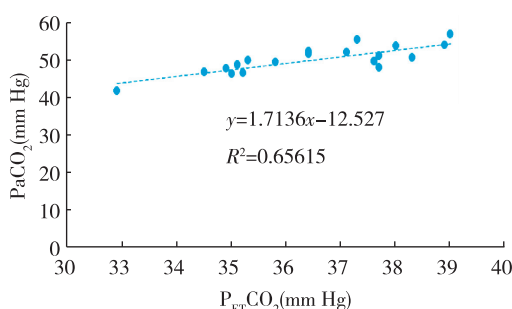


图 2 末端穿刺法 CPB 停止后  $P_{ET}CO_2$  与  $PaCO_2$  的相关性

图 3 旁气流法麻醉诱导后  $P_{ET}CO_2$  与  $PaCO_2$  的相关性图 4 旁气流法 CPB 停止后  $P_{ET}CO_2$  与  $PaCO_2$  的相关性

## 讨 论

本研究结果显示,在控制通气时,虽然末端穿刺法与旁气流法在麻醉诱导后以及 CPB 停止后的线性确定系数均存在显著性差异,但是末端穿刺法相关系数与旁气流法比较,前一种监测法更好地反映  $P_{ET}CO_2$  与  $PaCO_2$  之间的相关性。与末端穿刺法比较,旁气流法监测到的诱导后  $P_{ET}CO_2$  与  $PaCO_2$  以及停流转后  $P_{ET}CO_2$  与  $PaCO_2$  存在显著性差异,提示经末端穿刺法监测  $P_{ET}CO_2$  更能直接准确地反映体内  $CO_2$  的变化。同时,本研究结果也提示仅依靠旁气流法监测  $P_{ET}CO_2$  进行呼吸管理,容易出现过度通气或酸中毒。

以上结果可能与患儿呼出气流很容易被稀释有关<sup>[3]</sup>。在部分重吸入回路,如采样处在气管导管近端,新鲜气流的  $CO_2$  稀释作用明显,测得的  $CO_2$  浓度要比实际的低。在无重吸入回路,虽可明显减

少新鲜气流的稀释作用,但患儿与成人比较,新鲜气体仍相对较大,在气管导管近端采样接管处仍有不同程度的稀释,并且体重越小,稀释作用越明显。此外,本研究中采取旁气流法测得的  $P_{ET}CO_2$  与  $PaCO_2$  差异较大,还可能与气管导管与麻醉机螺纹管“Y”型接头处死腔增大有关。

体位变化时,如侧卧位时  $P_{ET}CO_2$  减少,  $PaCO_2$  增大,  $P_{a-ET}CO_2$  增大<sup>[4]</sup>。Suominen 等<sup>[5]</sup>认为,体温可以影响  $P_{a-ET}CO_2$  值,先心病患儿 CPB 手术中体温的变化也必须重视。

先心病对  $P_{ET}CO_2$  的影响,可能与心内血液分流方向及是否合并肺血流减少有关。研究发现,非发绀型先心病不影响  $P_{ET}CO_2$  测定值,而发绀型先心病导致  $P_{ET}CO_2$  显著低于非发绀型先心病,不能准确反映  $PaCO_2$ <sup>[2]</sup>。

综上所述,常用的旁气流法  $P_{ET}CO_2$  监测可用来反映机体内  $CO_2$  的变化趋势,有利于指导呼吸管理,但准确性不高,仍需要依靠  $PaCO_2$  的测定。而采用 22 G 套管针在邻近气管导管末端穿刺行持续  $P_{ET}CO_2$  监测,可靠性高,相关性更好,更能准确反映机体  $PaCO_2$  的变化,并且实施方法简单易操作,经济实惠,可广泛应用于临床。

## 参 考 文 献

- [1] 倪萍,王英伟. 小儿先心患者呼气末与动脉血二氧化碳分压的相关性及其影响因素. 国际麻醉学与复苏杂志, 2009, 30(3): 242-276.
- [2] 郑利民,李玉梅. 紫绀与非紫绀型先天性心脏病患者  $PETCO_2$  与  $PaCO_2$  的相关性. 临床麻醉学杂志, 2005, 21(6): 377-378.
- [3] Mehta H, Kashyap R, Trivedi S. Correlation of end tidal and arterial carbon dioxide levels in critically ill neonates and children. Indian J Crit Care Med, 2014, 18(12): 833-834.
- [4] 龚发贤,吴芳,张永海,等. 俯卧位手术时对  $P_{ET}CO_2$  与  $PaCO_2$  的相关性分析. 临床麻醉学杂志, 2014, 30(6): 574-576.
- [5] Suominen PK, Stayer S, Wang W, et al. The effect of temperature correction of blood gas values on the accuracy of end-tidal carbon dioxide monitoring in children after cardiac surgery. ASAIO J, 2007, 53(6): 670-674.

(收稿日期:2016-08-04)